



Quintom Theory Of Dark Energy After DESI DR2

暗物质暗能量研究现状发展趋势及对策专题研讨会

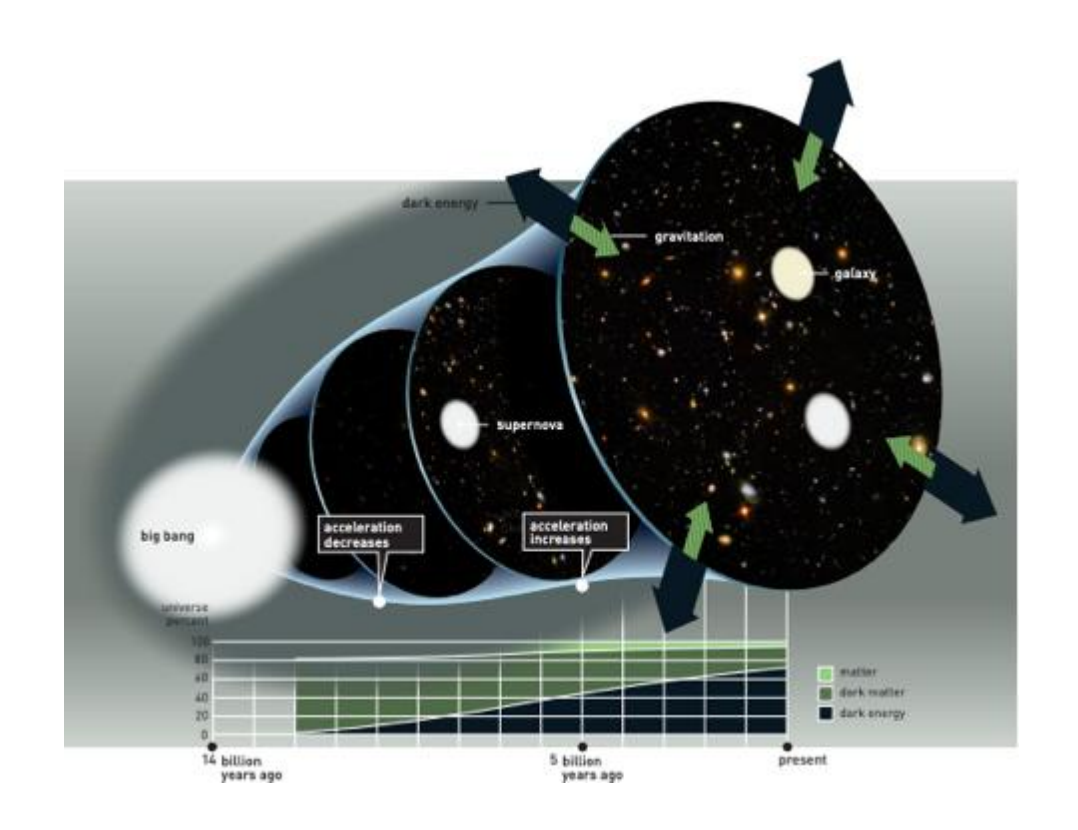
汇报人: 蔡一夫

2025年6月25日

Chapter 1: 暗能量

- 暗能量的发现
- 从宇宙学常数到动力学暗能量

我们的宇宙在加速膨胀!





白矮星通过质量吸积机制塌缩爆炸时的质量相同,因此la型超新星能产生稳定的峰值亮度,从而超新星的视星等主要取决于距离因素,这类爆炸现象可作为测量其所处星系距离的标准烛光。

2011年诺贝尔物理学奖



© The Nobel Foundation. Photo: U. Montan Saul Perlmutter

分享1/2



© The Nobel Foundation. Photo: U. Montan

Brian P. Schmidt 分享1/4



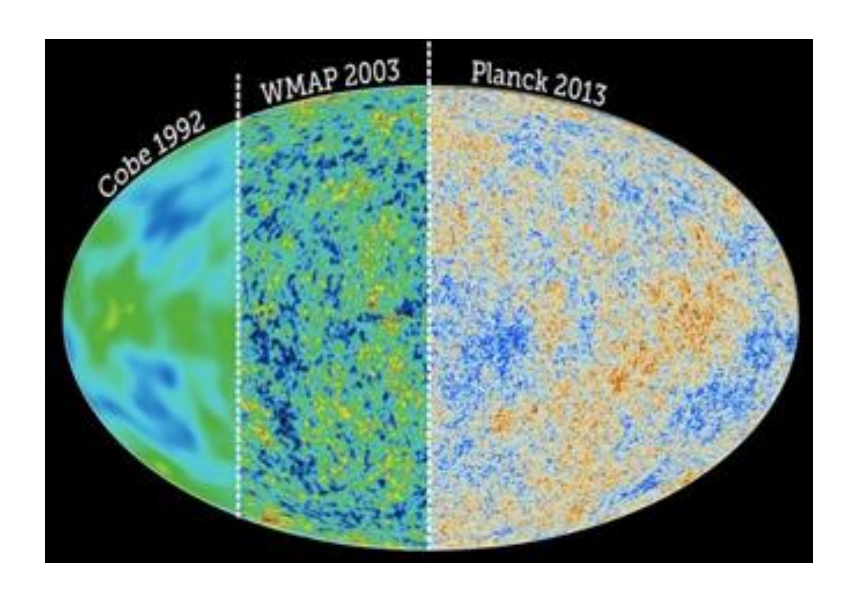
© The Nobel Foundation. Photo: U. Montan

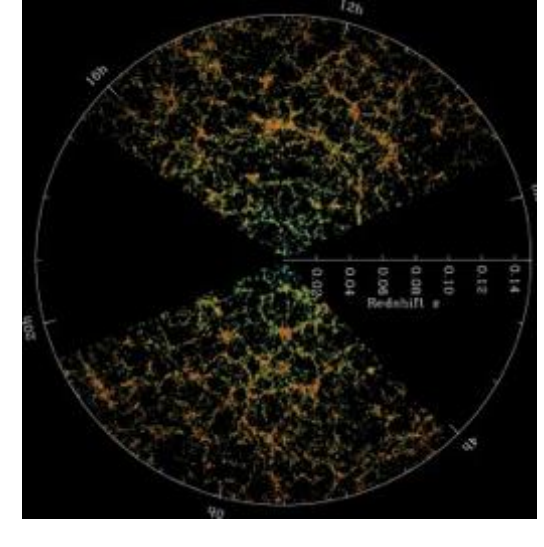
Adam G. Riess 分享1/4

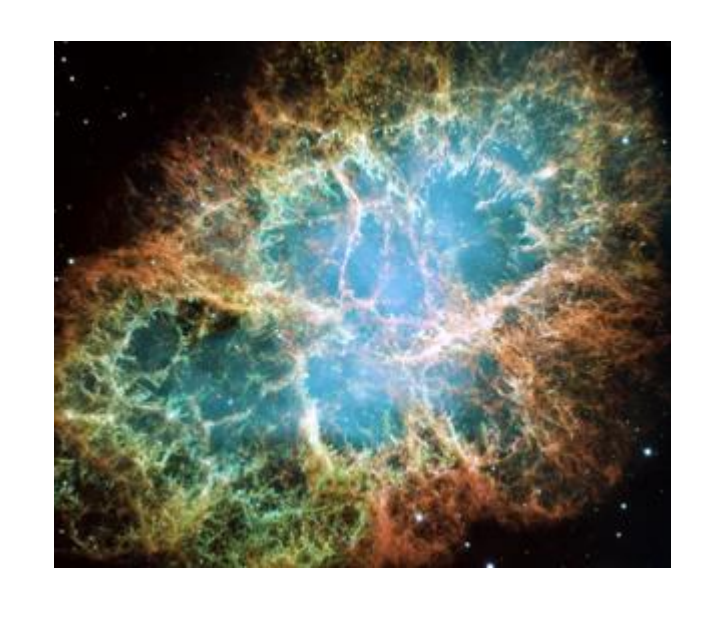
'因观测遥远超新星发现宇宙加速膨胀而获奖"

观测窗口

曾经试图测量减速参数 q, 发现其为**负!** 什么机制导致**宇宙加速膨胀**? → 提出**暗能量**的概念







宇宙微波背景辐射 (CMB):

原初扰动的直接探测

时期: 宇宙年龄 0.003%

重子声波振荡 (BAO):

大尺度结构的直接探测

时期: 二者之间

超新星 (SN):

宇宙膨胀的直接探测

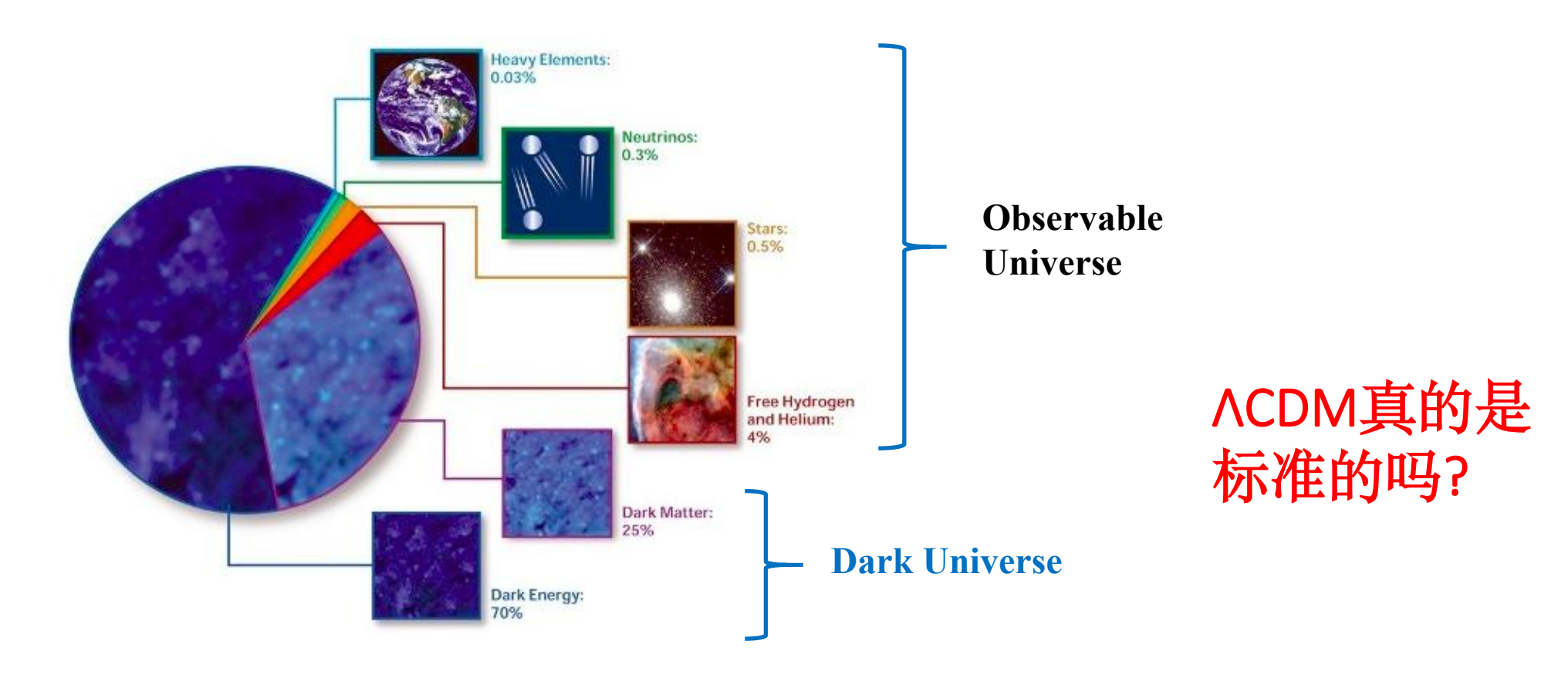
时期: 宇宙年龄 30-100%

宇宙学常数

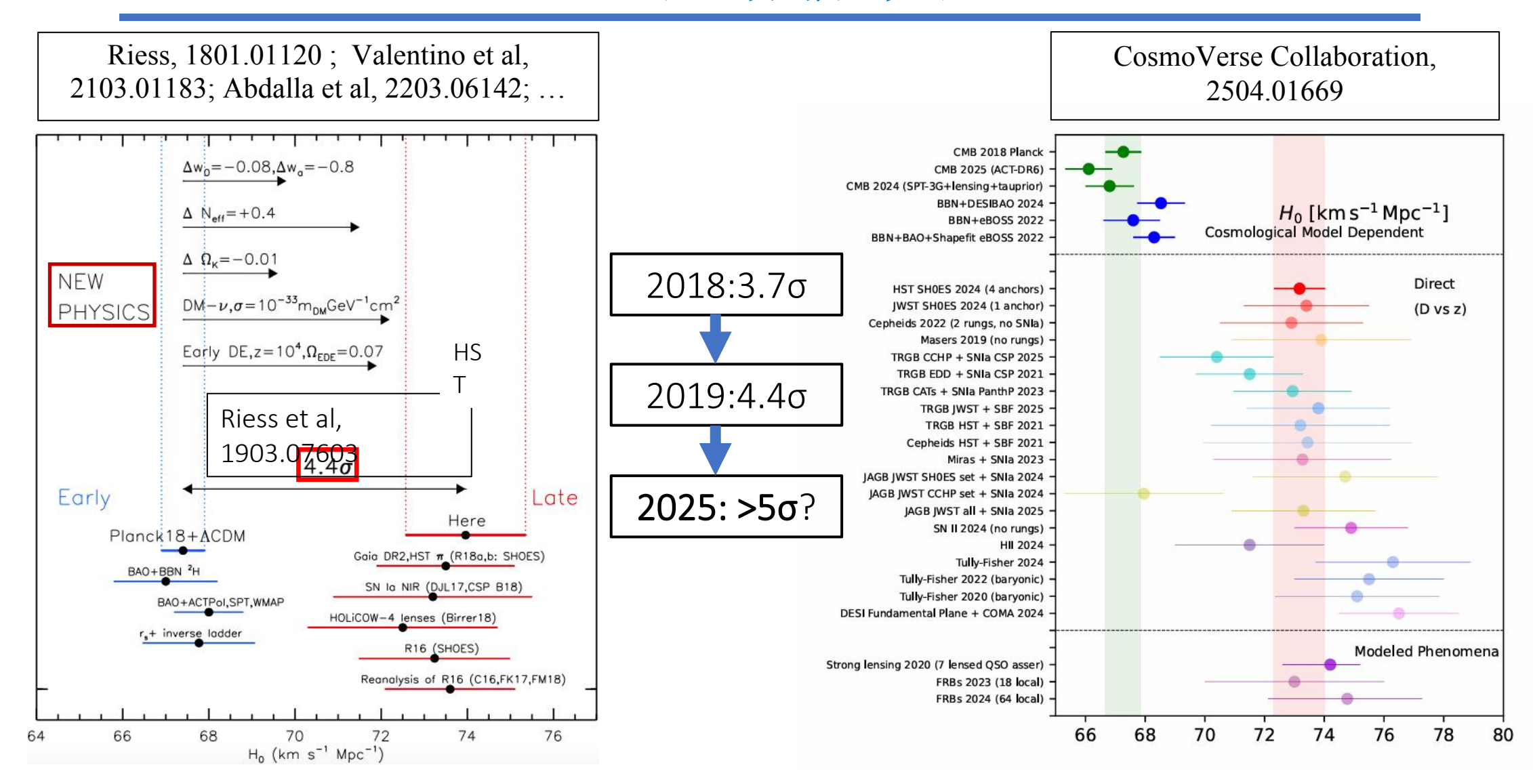
宇宙学常数是解释宇宙加速膨胀最简洁的暗能量模型

➤ 标准宇宙学模型 (ΛCDM 模型):

 Λ 表示宇宙学常数 其状态方程参数为 $\mathbf{w}_{de} = -1$,能量密度恒定 $\rho = \rho_{\Lambda}$

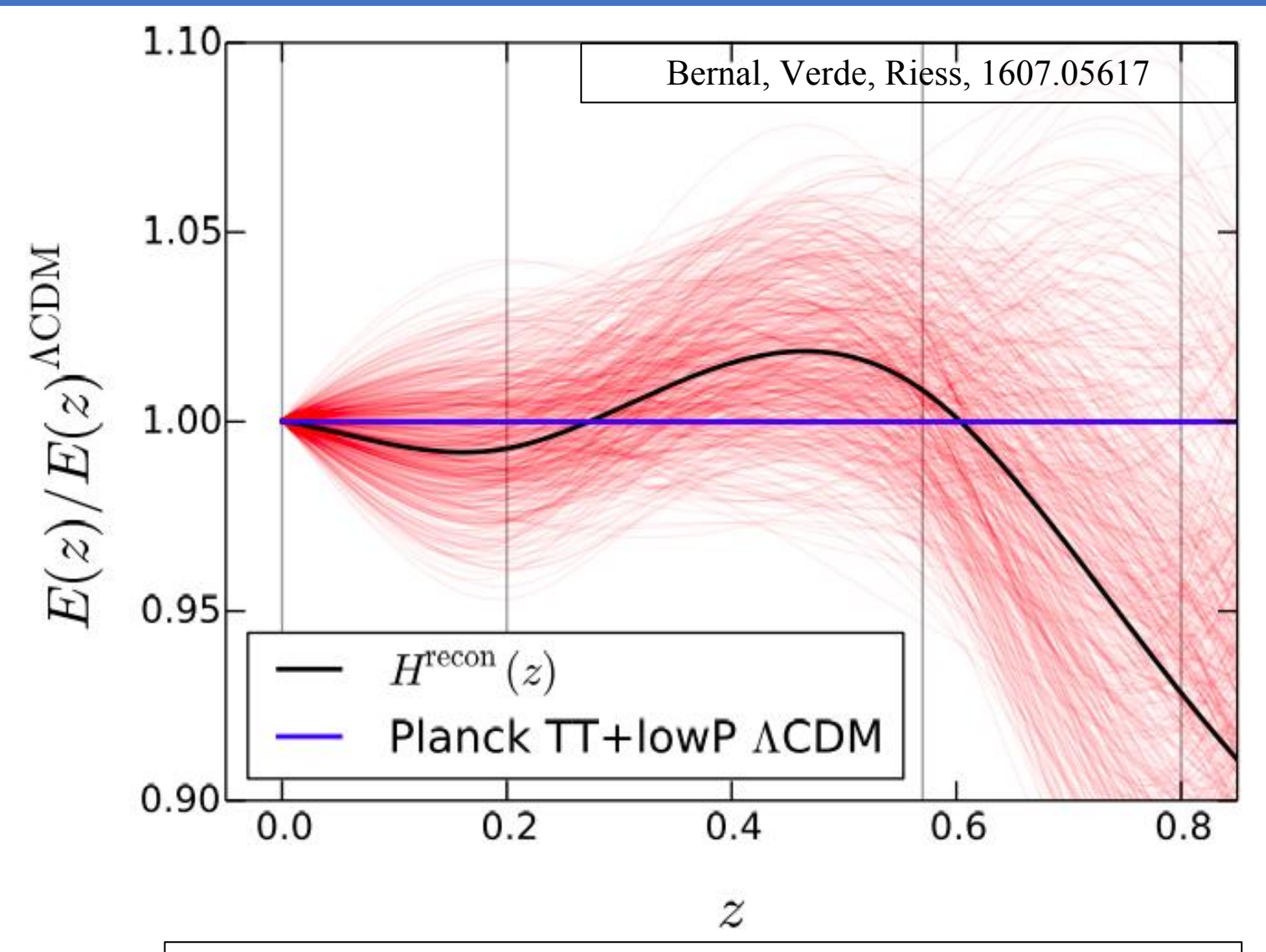


观测:哈勃争议



标准ACDM模型似乎不再那么"标准"! 我们是否需要新的物理学理论,即 动力学暗能量?

观测:哈勃争议



CYF, Khurshudyan, Saridakis, 1907.10813 on reconstruction; *CYF*, et al, 1909.06388 on effective field theory

暗能量动力学类型

暗能量的动力学演化特性关键性地取决于状态方程参数w,即压强与密

度的比值

一类简单的参数化:

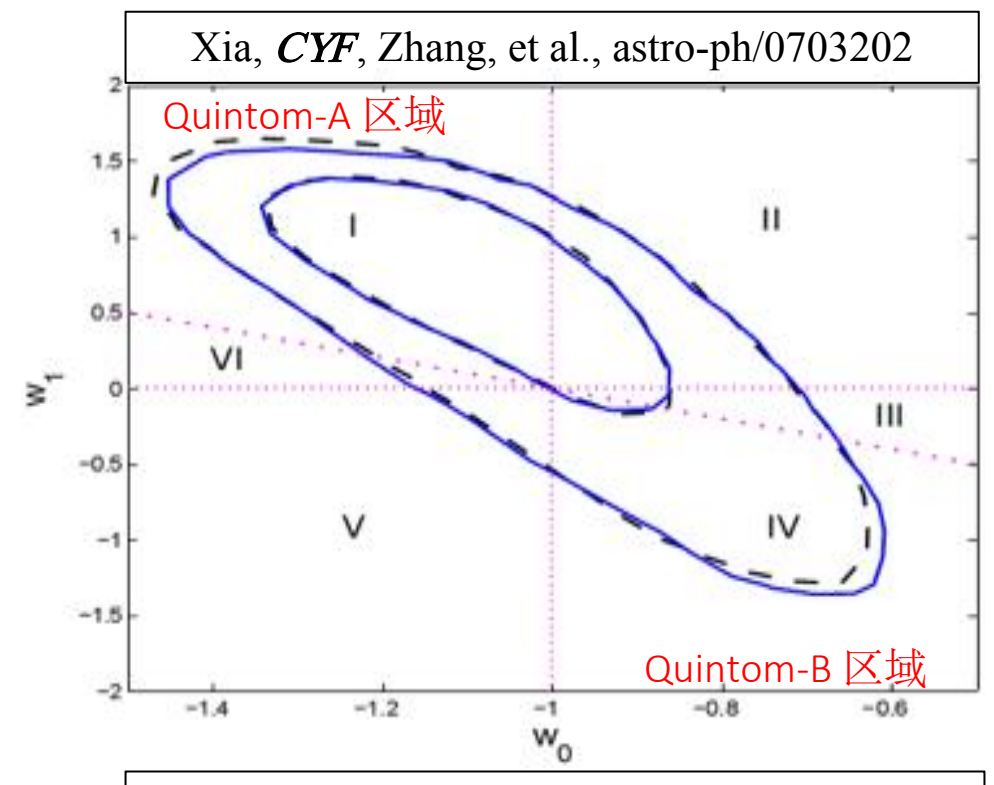
$$w(a) = w_0 + w_a(1-a)$$
,

分类:

• Λ: w=-1 \CDM

• Quintessence (精质): 1<w<1/a>/3 || 和 |||

• Phantom (幽灵): w<-1 V和 VI



Feng, Wang, Zhang, astro-ph/0404224; Hu, astro-ph/0407158; Huterer, Cooray, astro-ph/0404062; Xia, et al., astro-ph/0511625; Zhao, et al., 1207.3804, 1701.08165, 2504.06118;

Chapter 2: DESI结果对精灵模型的支持

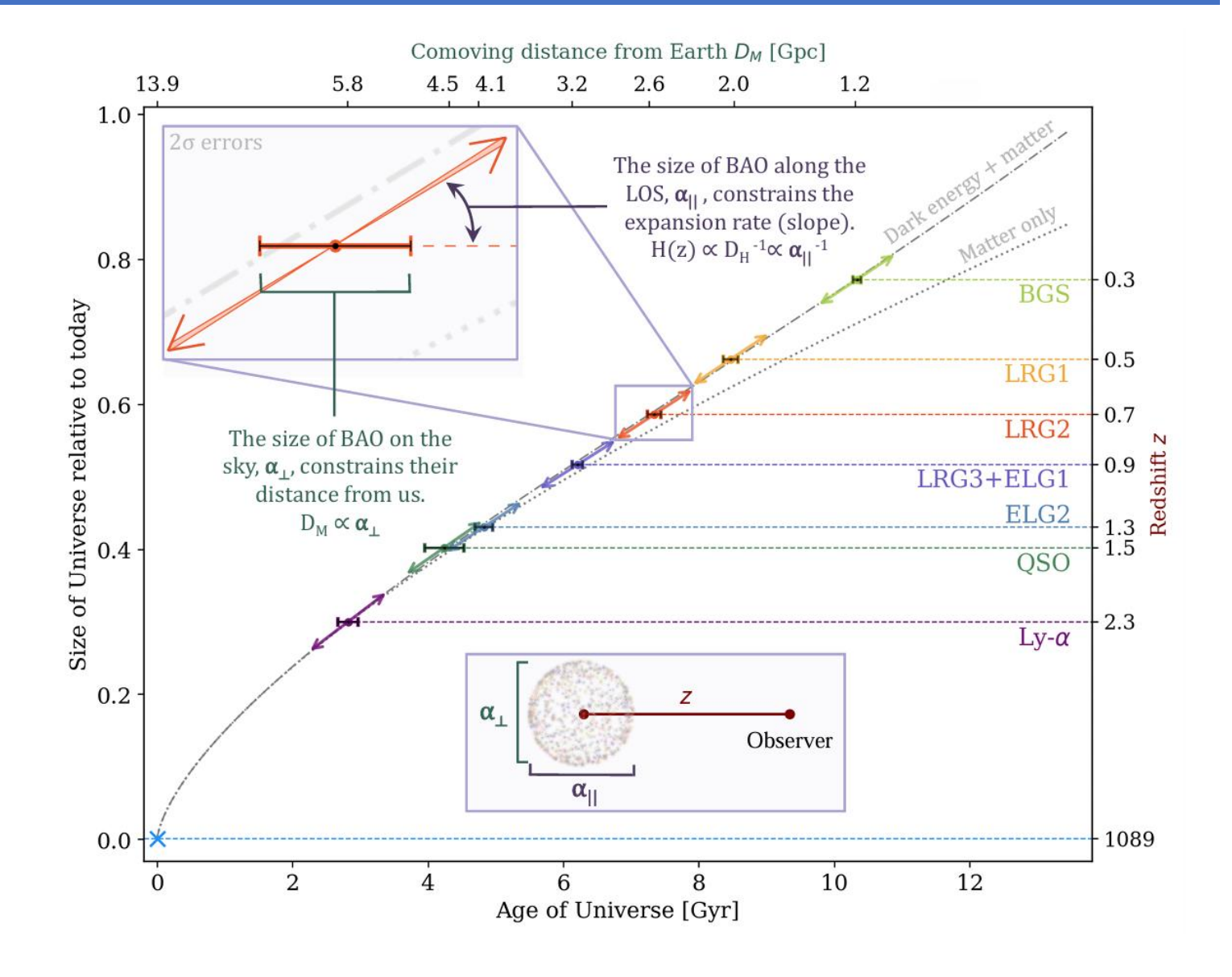
- DESI实验组的结果
- 基于DESI观测数据的数据重构

BAO data

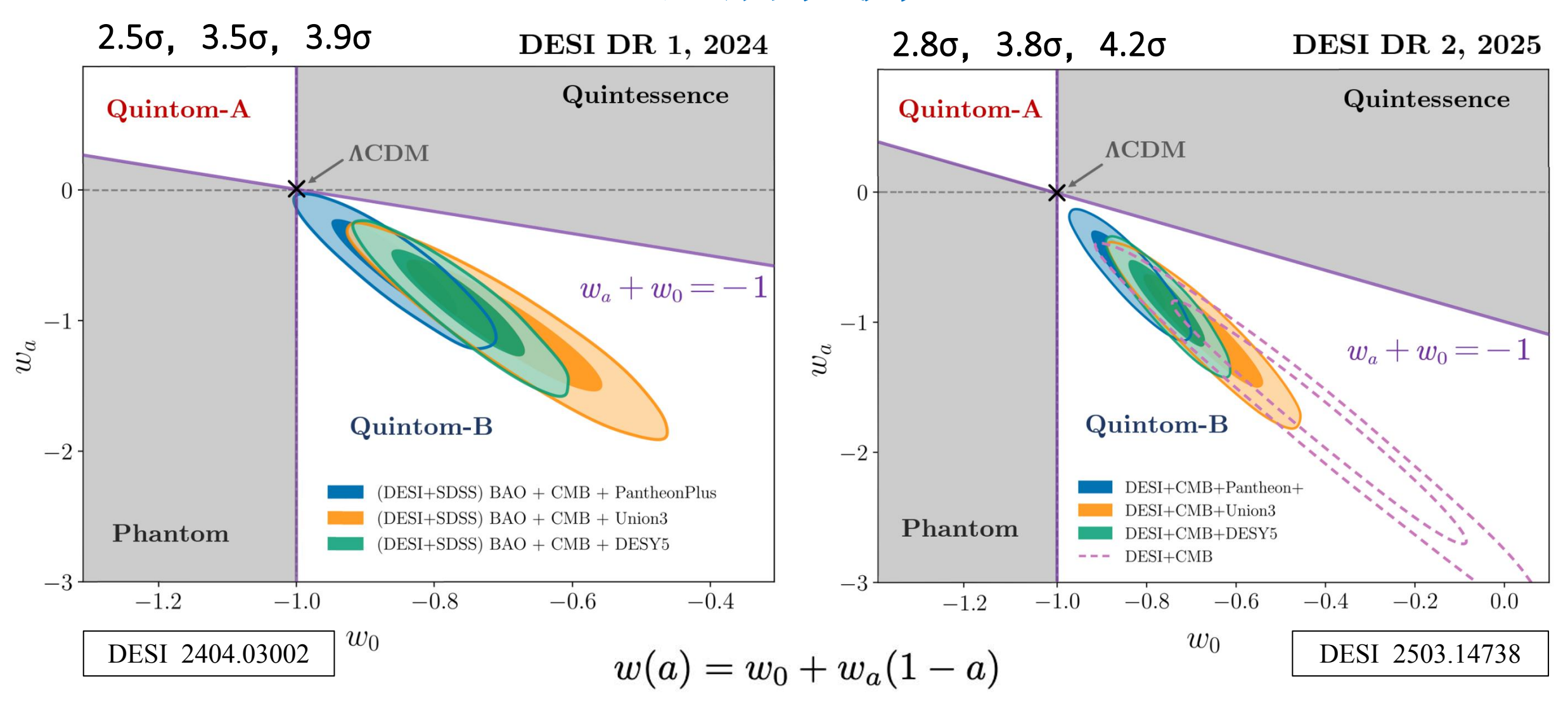


@ 2023 DESI Collaboration. All rights reserved.

DESI Collaboration, 2503.14738, 2404.03000, 2404.03001, 2404.03002



近期观测



DESI 观测显示出对于ACDM的偏离 这是否暗示新的暗能量理论,即Quintom-B 类型动态暗能量?

高斯过程

暗能量状态方程的演化:

 \triangleright Λ CDM

$$w = -1$$

> wCDM

$$w = const$$

 \triangleright w₀w_aCDM

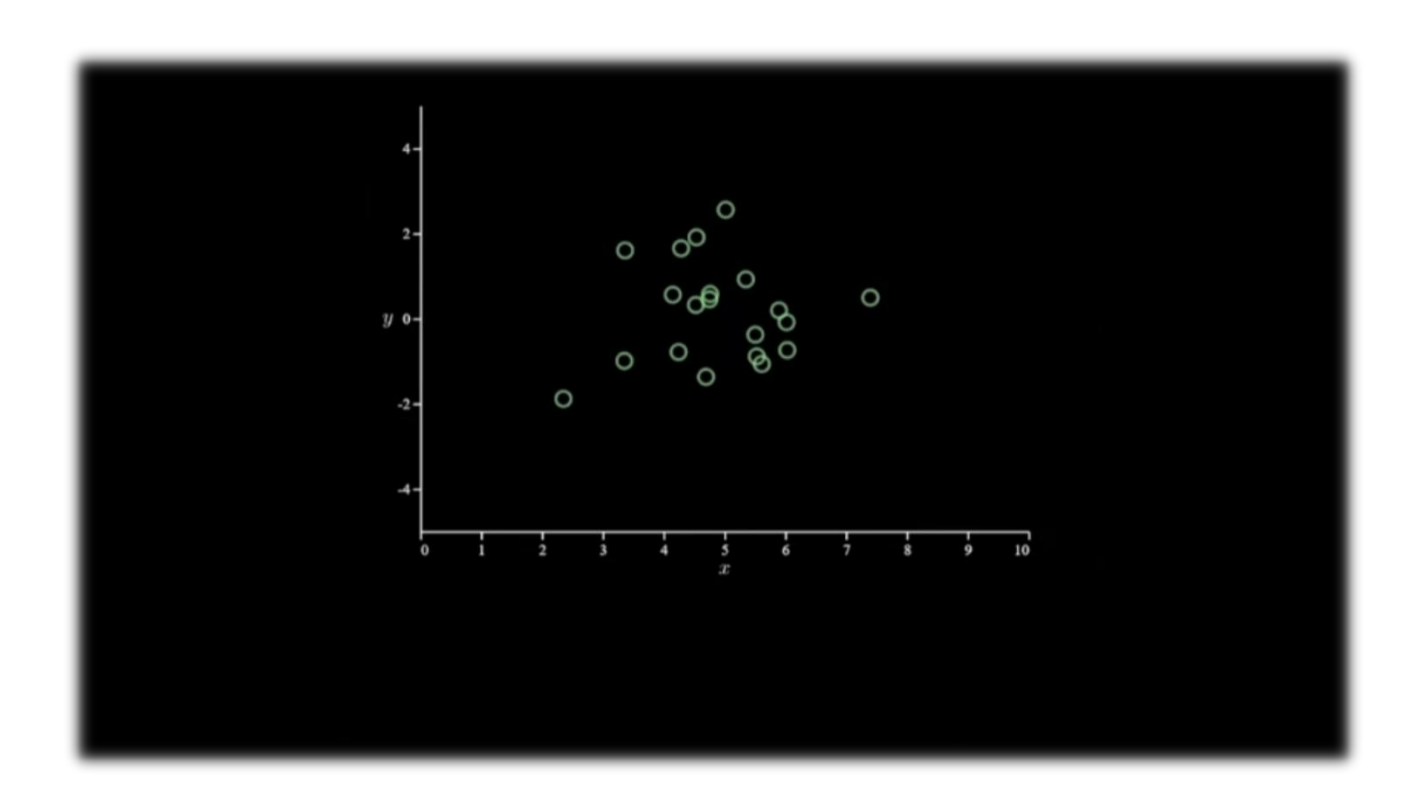
$$w = w_0 + w_a(1 - a)$$

 \succ w(z)CDM

更加一般的非参数化 w(z)

如何得到不依赖于参数形式的w(z)?

从线性回归到贝叶斯线性回归



高斯过程

方法: 高斯过程 (Gaussian Process)

Seikel, et al., 1204.2832; Shafieloo, et al., 1204.2272

通过观测数据获取函数高斯分布的随机建模方法

▶ 关键点:

观测数据: 在不同红移处独立带误差棒的数据点,

$$y = \{y(x) : x \in \mathcal{X}\}$$

考虑所有n∈N的有限维分布 (FDDs),

$$\mathbb{P}(y(x_1) \leq c_1, \ldots, y(x_n) \leq c_n)$$

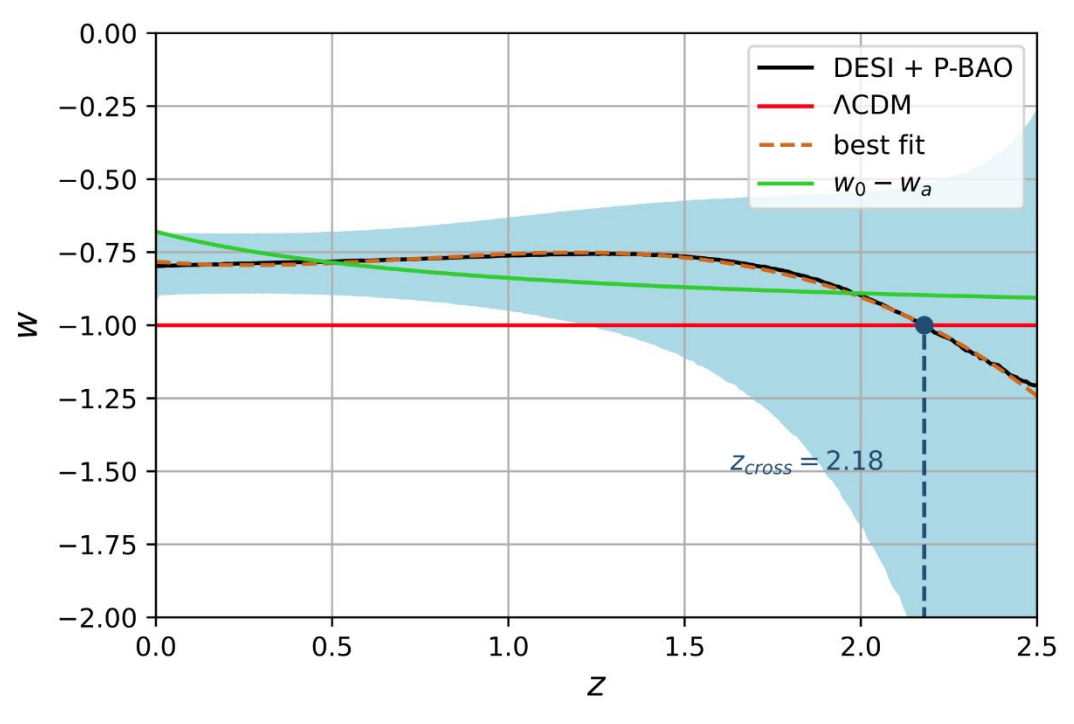
高斯过程:一种具有高斯有限维分布的随机过程,

$$(y(x_1),\ldots,y(x_n)) \sim N_n(\mu,\Sigma)$$

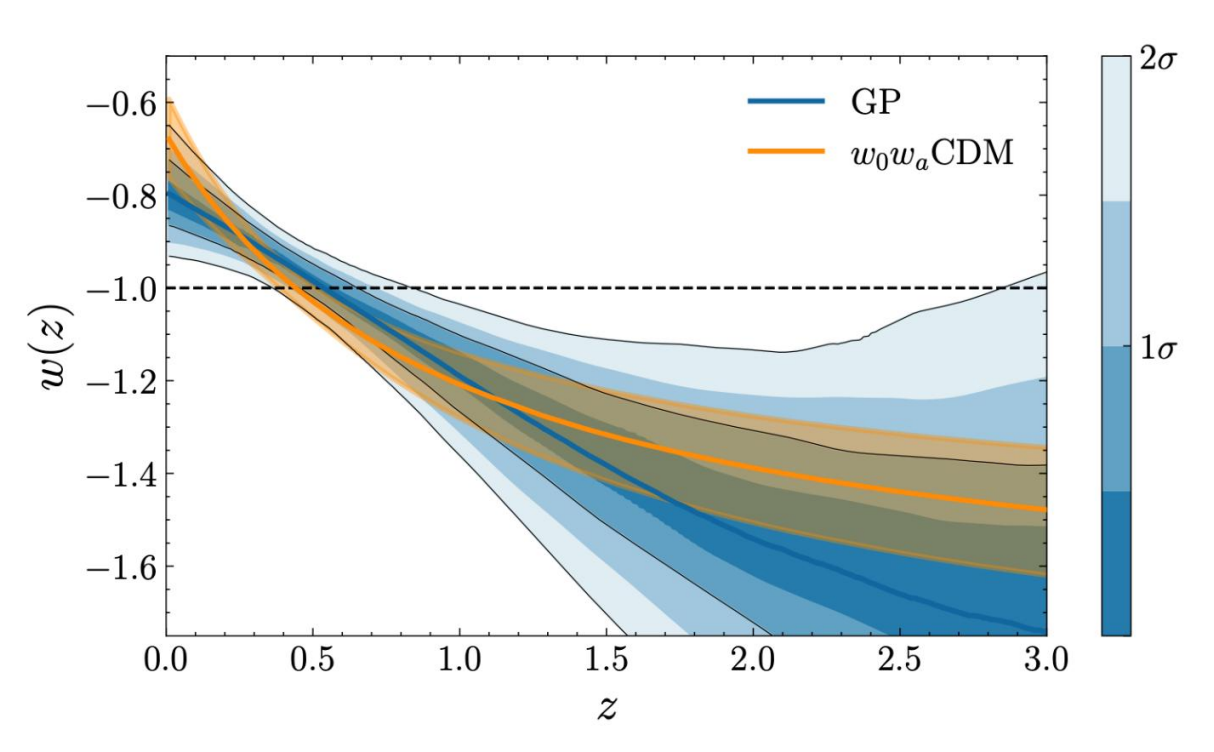
使用GAPP (Gaussian Processes in Python)程序包,通过观测数据重构H(z)及w(z)。

w(z)的非参数化方法重构

2024年蔡一夫团队通过高斯过程方法分析DESI DRI数据,首次**重构**发现疑似"Quintom-B"的暗能量动力学行为(2024, Sci.Bull. 69, 2698),该工作在2025年被DESI组引用,DESI组也使用高斯过程方法对DESI DR2数据进行研究。

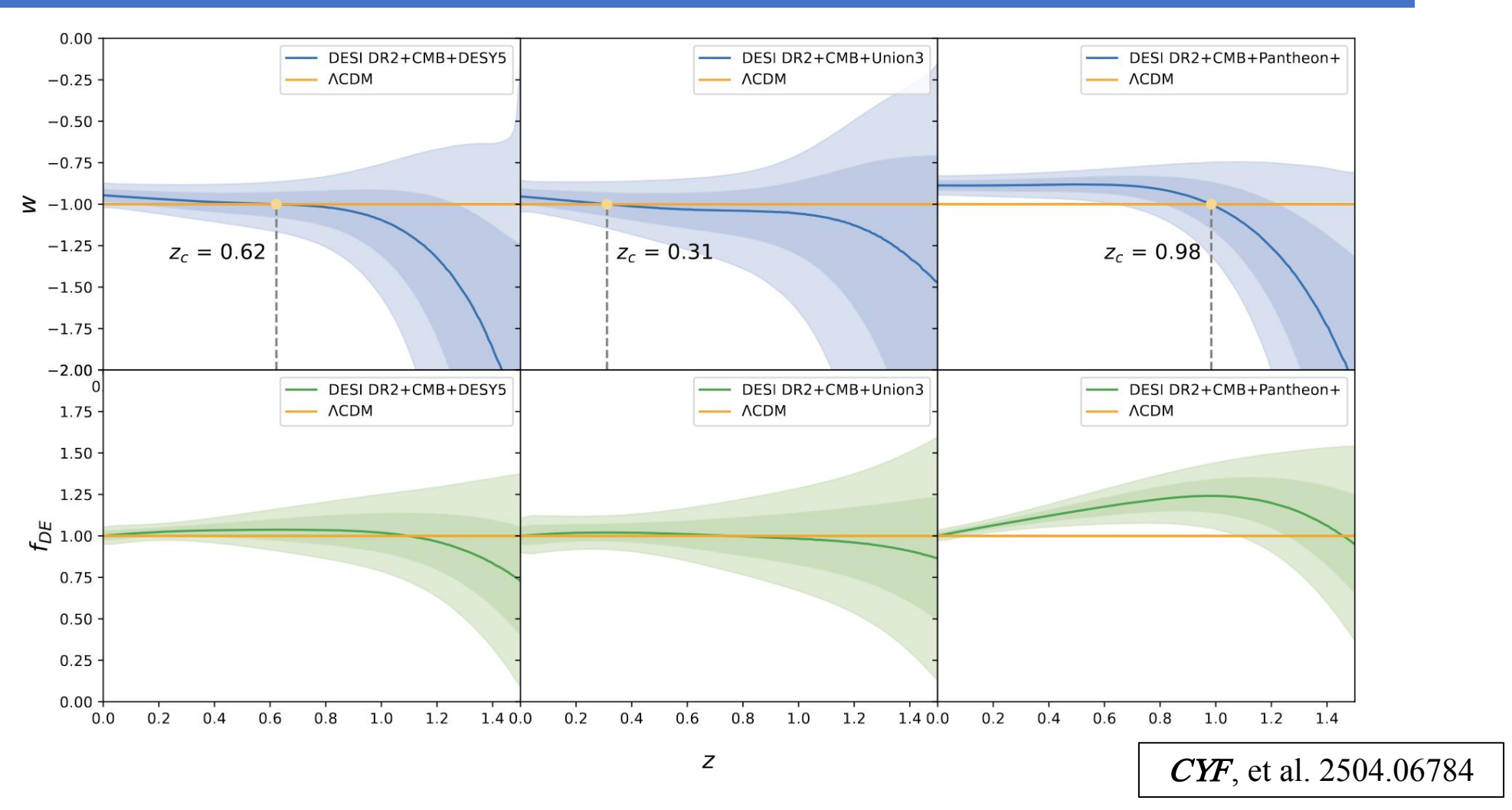


之前的BAO数据 + DESI DRI BAO (2024)



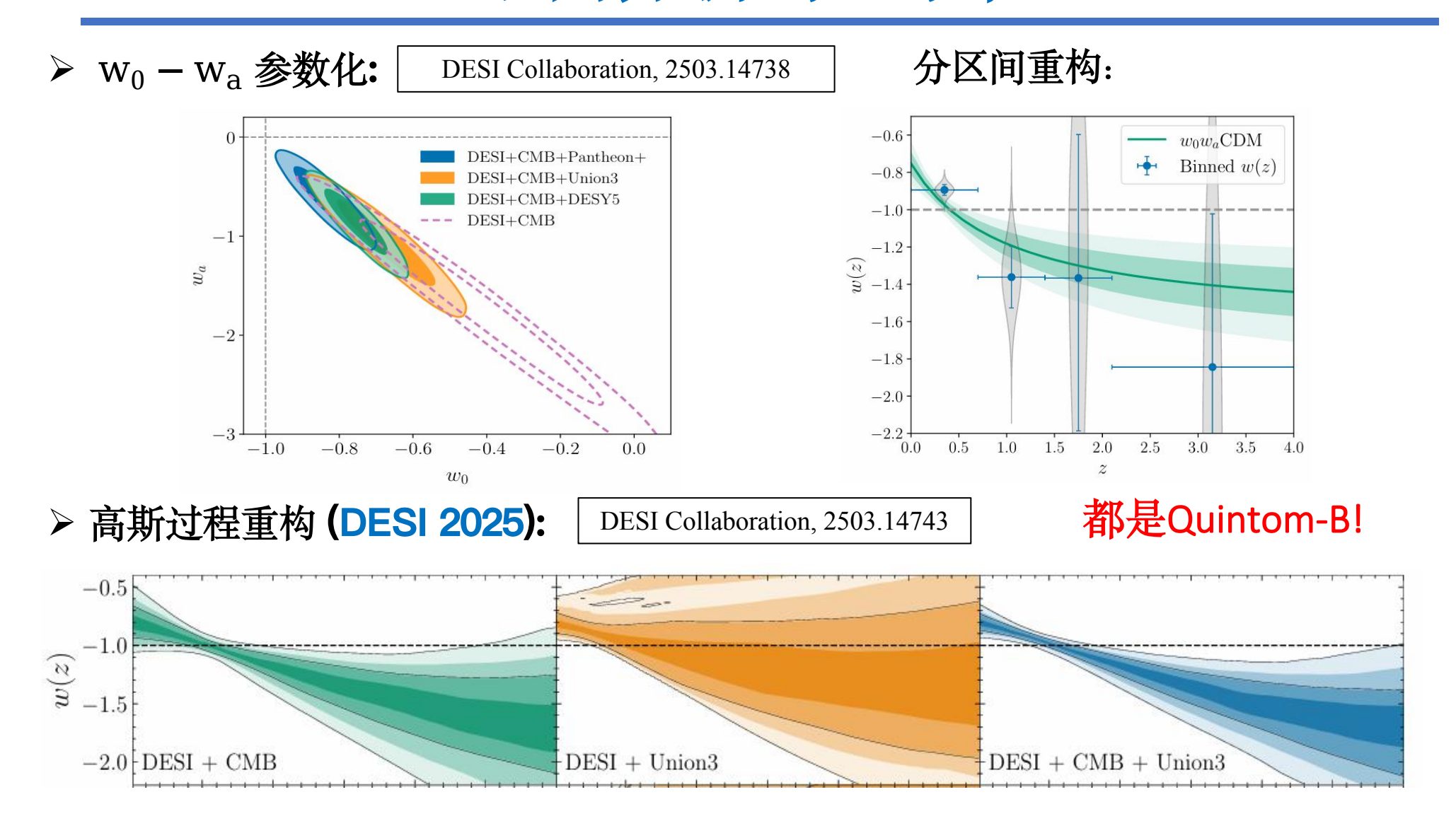
DESI DR2 BAO + CMB + Union3 (2025)

w(z)的非参数化方法重构



利用最新的DESI DR2的数据对其进行限制 我们发现w(z)总是从下方穿过-1,从而表现出Quintom-B行为。

不同分析的一致性



如何从理论上理解并实现这种Quintom-B动力学行为?

Chapter 3: 精灵暗能量的模型实现

- No-Go定理
- 理论模型实现
- 未来展望

止步定理 (No-Go Theorem)

▶ 止步定理

在3+1维平坦FLRW宇宙中,假如暗能量理论由具有一般K-essence拉格朗日量的单一理想流体或者单标量场描述,并且与广义相对论(GR)最小耦合,那么其状态参数不能穿过w=1幽灵分界线

- ▶ 证明概要
- 对于单理想流体: 当 w 穿越 一 时, 声速发散

CYF et al., 0909.2776;

Feng et al., astro-ph/0404224; Vikman, astro-ph/0407107;

Hu, astro-ph/0407158;

Xia, CYF, Zhang, et al., astro-ph/0703202

$$c_s^2 \equiv \frac{\delta p}{\delta \rho} = w - \frac{\dot{w}}{3H(1+w)}$$

• 对于正则单标量场: 扰动的普遍色散关系同样在穿过 w=-1 时发散

$$\omega^2 = c_s^2 k^2 - \frac{z''}{z} \qquad z \equiv \sqrt{\phi'^2 |\rho_{,X}|}$$

Quintom的模型构造

要实现越过w=1线的动力学,应该至少打破暗能量止步定理中的一个条件

见最新综述文章:

CYF, Xin Ren, Taotao Qiu, Mingzhe Li, Xinmin Zhang.

The Quintom theory of dark energy after DESI DR2 arxiv:2505.24732 [astro-ph.CO]

可能模型:

- 多标量场—Feng et al., astro-ph/0404224; Hu, astro-ph/0410680 ...
- 高阶导数— Li et al., hep-ph/0503268; Matsumoto, 1712.10015 ...
- 修改引力—Tsujikawa et al., 0705.0396; *CYF* , et al., 2404.19437...
- 费米场—*CYF*, et al., 0806.3890; Dil 1610.07870 ...
- 有效场论形式—Gubitosi et al., 1210.0201; *CYF*, et al., 1803.09818, 2505.24732 ...
- 与中微子、暗物质相互作用—Wang, et al., hep-th/0506069; Khoury, et al., 2503.16415, ...

多标量场模型

第一个Quintom暗能量模型是张新民老师于2004年4月提出

Feng, Wang, Zhang, astro-ph/0404224

▶ 作用量形式为:

$$S = \int d^4x \sqrt{-g} \left[-\frac{1}{2} \nabla_{\mu} \phi \nabla^{\mu} \phi + \frac{1}{2} \nabla_{\mu} \sigma \nabla^{\mu} \sigma - V(\phi, \sigma) \right]$$

 \triangleright 有效能量密度 ρ ,有效压强p和有效状态方程参数w为:

$$\rho = \frac{1}{2}\dot{\phi}^2 - \frac{1}{2}\dot{\sigma}^2 + V(\phi, \sigma), \quad p = \frac{1}{2}\dot{\phi}^2 - \frac{1}{2}\dot{\sigma}^2 - V(\phi, \sigma),$$

$$w = \frac{p}{\rho} = \frac{\dot{\phi}^2 - \dot{\sigma}^2 - 2V(\phi, \sigma)}{\dot{\phi}^2 - \dot{\sigma}^2 + 2V(\phi, \sigma)}$$

▶ 广义的多标量场模型也可实现Quintom行为:

$$S = \int d^4x \sqrt{-g} \left[-\frac{1}{2} \sum_{i} \epsilon_i \nabla_{\mu} \phi_i \nabla^{\mu} \phi_i - V(\phi_1, \phi_2,, \phi_n) \right] \quad w_{\text{total}} = \frac{\sum_{i} \epsilon_i \dot{\phi}_i^2 - 2V(\phi_1, \phi_2,, \phi_n)}{\sum_{i} \epsilon_i \dot{\phi}_i^2 + 2V(\phi_1, \phi_2,, \phi_n)}$$

高阶导数标量场模型

在DHOST、Horndeski以及Galileon等理论中,特殊的作用量形式可以实现高阶导数单标量场Quintom模型,使动能项X与高阶导数项φ形成耦合,从而使状态方程能够穿越-1,并且不出现如鬼场不稳定性等问题。

$$L = -X + c_1 X \Box \phi + c_2 X \phi^2$$

有效能量密度 ρ ,有效压强p和有效状态方程参数w为:

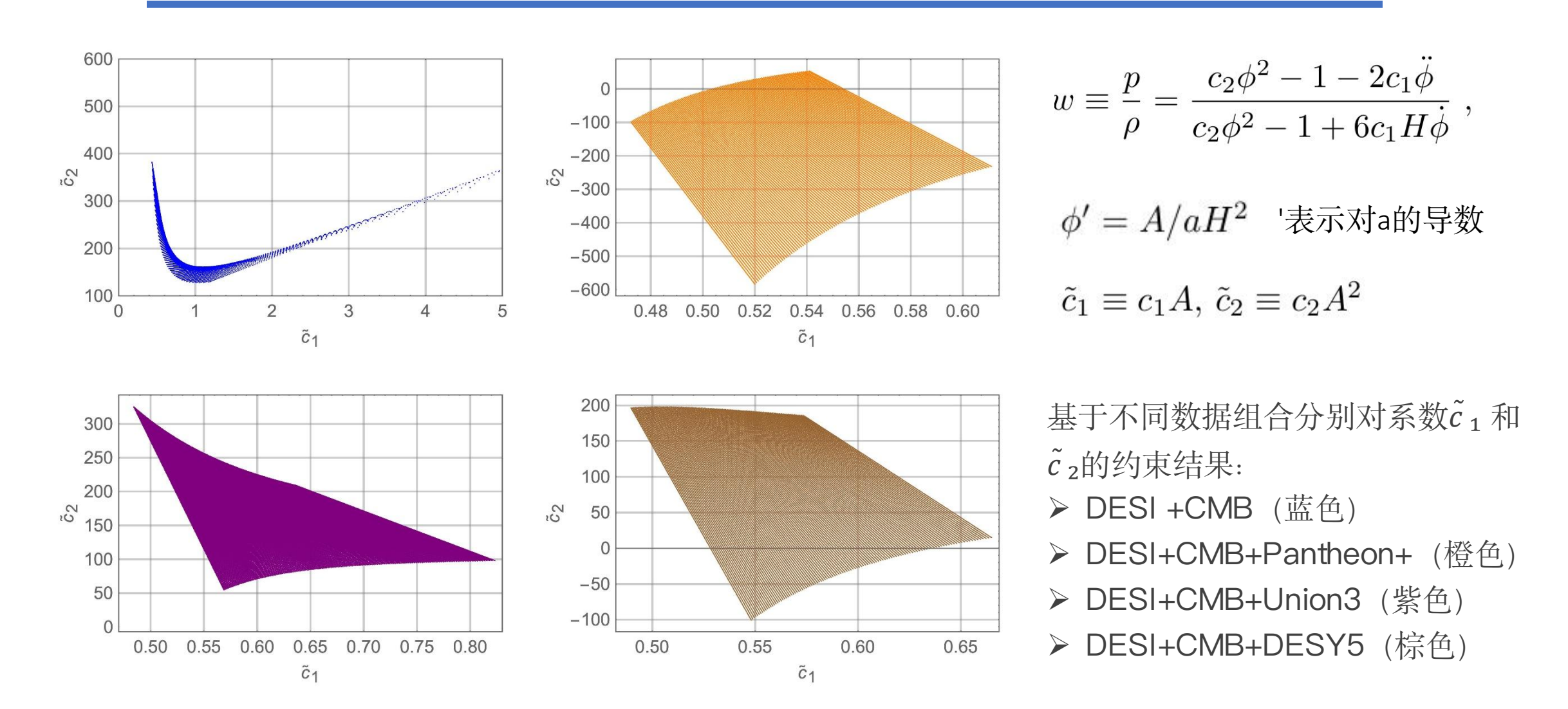
$$\rho = (c_2\phi^2 - 1 + 6c_1H\dot{\phi})X ,$$

$$p = (c_2\phi^2 - 1 - 2c_1\ddot{\phi})X ,$$

$$w \equiv \frac{p}{\rho} = \frac{c_2 \phi^2 - 1 - 2c_1 \ddot{\phi}}{c_2 \phi^2 - 1 + 6c_1 H \dot{\phi}} ,$$

Li et al., hep-ph/0503268; Li et al., 1112.4255; **CYF** et al., hep-th/0701016; Matsumoto, 1712.10015;

高阶导数标量场模型



该模型存在充分的参数空间能够良好地拟合当前观测数据

修改引力模型

> 度规-仿射引力理论

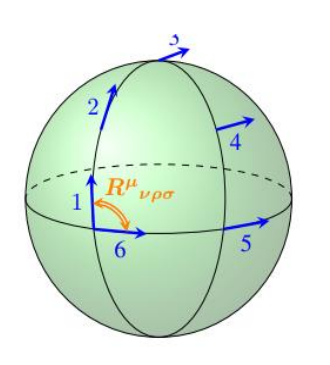
 度归
 f(R)引力——曲率
 对于 coincident gauge下(所有联络都为

 f(T)引力—— 挠率
 零) 的f(Q)引力理论, 其宇宙学背景演化

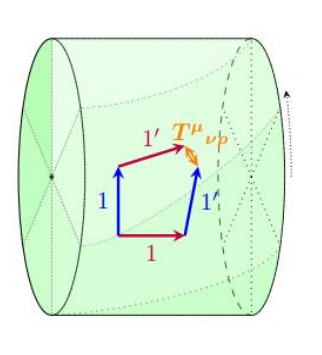
 f(Q)引力——非度规
 与f(T)引力理论的表现形式一致

一般的作用量形式, X 代表 R, T 或者 Q

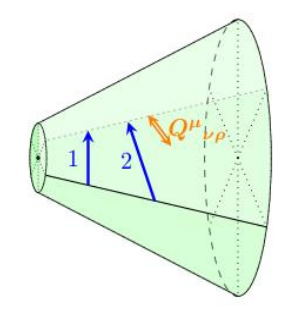
$$S = \int d^4x \sqrt{-g} \left[\frac{1}{2} f(X) + \mathcal{L}_m \right] ,$$



曲率



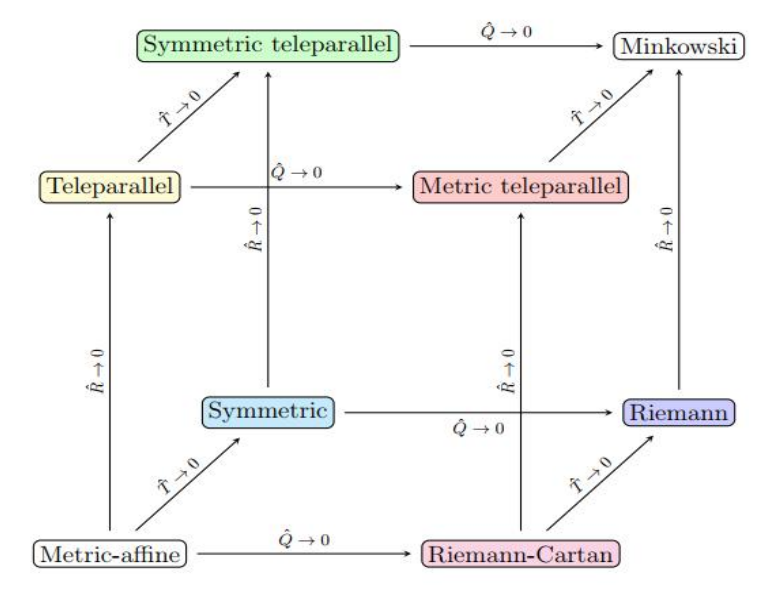
挠率



非度规

时空几何

Bahamonde et al., 2106.13793



度规-仿射 时空

修改引力模型

▶ 通过高斯过程可以对 多个修改引力模型进 行数据重构

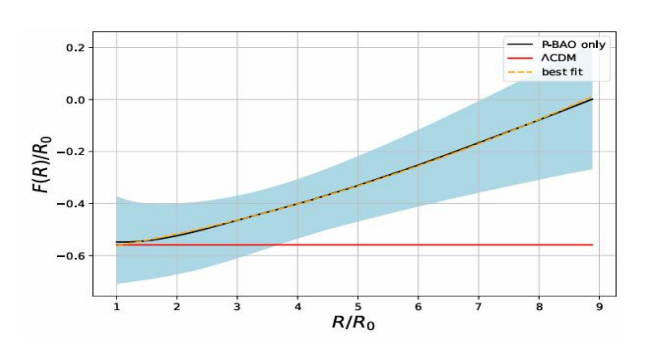
CYF et al., 2404.19437

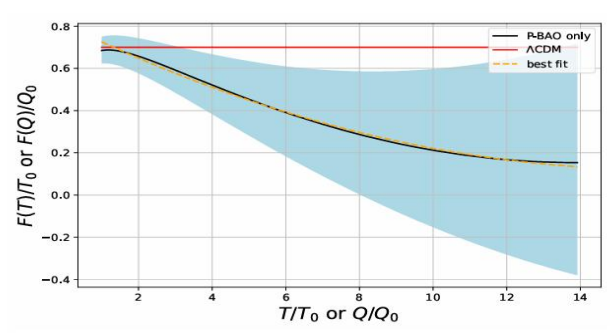
以f(T)引力为例
$$S = \frac{1}{16\pi G} \int e \left[T + F(T)\right] dx^4$$

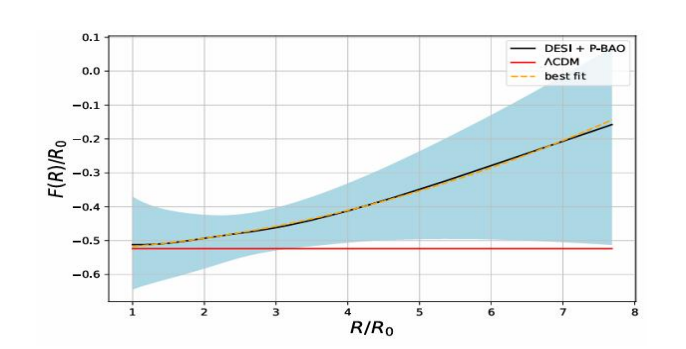
$$\rho_{f(T)} = \frac{1}{16\pi G} [2TF_T - F(T)]$$

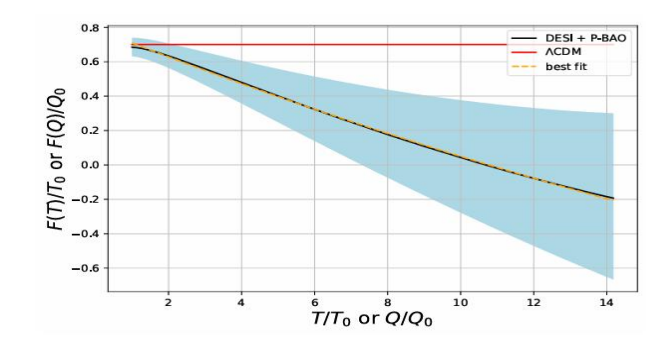
$$p_{f(T)} = \frac{1}{16\pi G} \left[\frac{F(T) - TF_T + 2F_{TT}T^2}{2F_{TT}T + F_T + 1} \right]$$

$$\omega_{f(T)} = \frac{F(T) - TF_T + 2T^2F_{TT}}{(2TF_T - F(T))(2F_{TT}T + F_T + 1)}$$







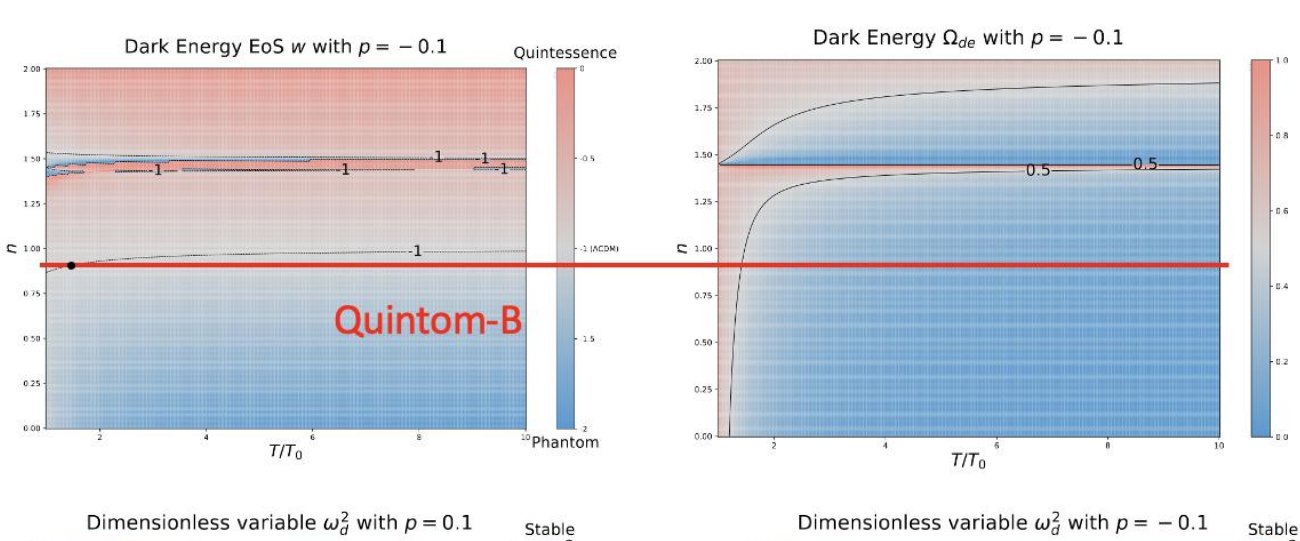


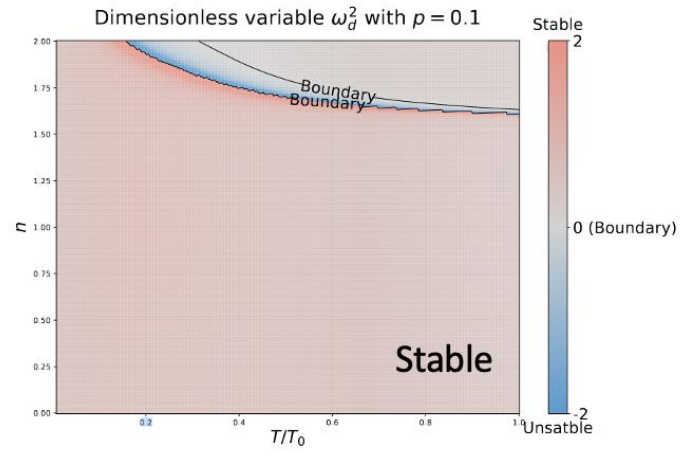
从 DESI 2024 重构的 f(X) 可以有效地参数化为 $F(X)/X_0 = A + BX/X_0 + CX^2/X_0^2$,

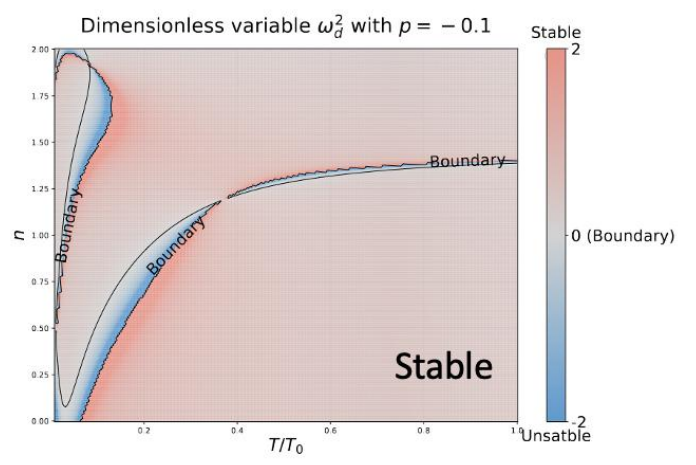
- 重构结果表明 f(X) 超出了标准 ACDM
- 对于所有情况,ACDM 的二次偏差都略占优势
- 模型需要实现 quintom 行为

修改引力模型

➤ 通过解析模型构造对实现Quintom行 为的修改引力模型进行深入研究







幂律模型

+

指数模型

Quintessence-like

Phantom-like



Quintom f(T) 模型

$$f(T) = T + \alpha (-T)^n \left[1 - e^{pT_0/T} \right] - 2\Lambda,$$

模型的稳定性要求

$$\ddot{\Phi}_k + \Gamma \dot{\Phi}_k + \Omega^2 \Phi_k = 0.$$

$$\Omega^2 = \frac{-\frac{f}{4} - T^2 f_{TT}}{f_T + 2T f_{TT}} \ge 0.$$

CYF et al. 2504.06784

展望: 扰动阶对引力理论的限制

➤ 从背景到**扰动阶**约束 (BAO+RSD+SNe)

CYF et al., 2501.18336

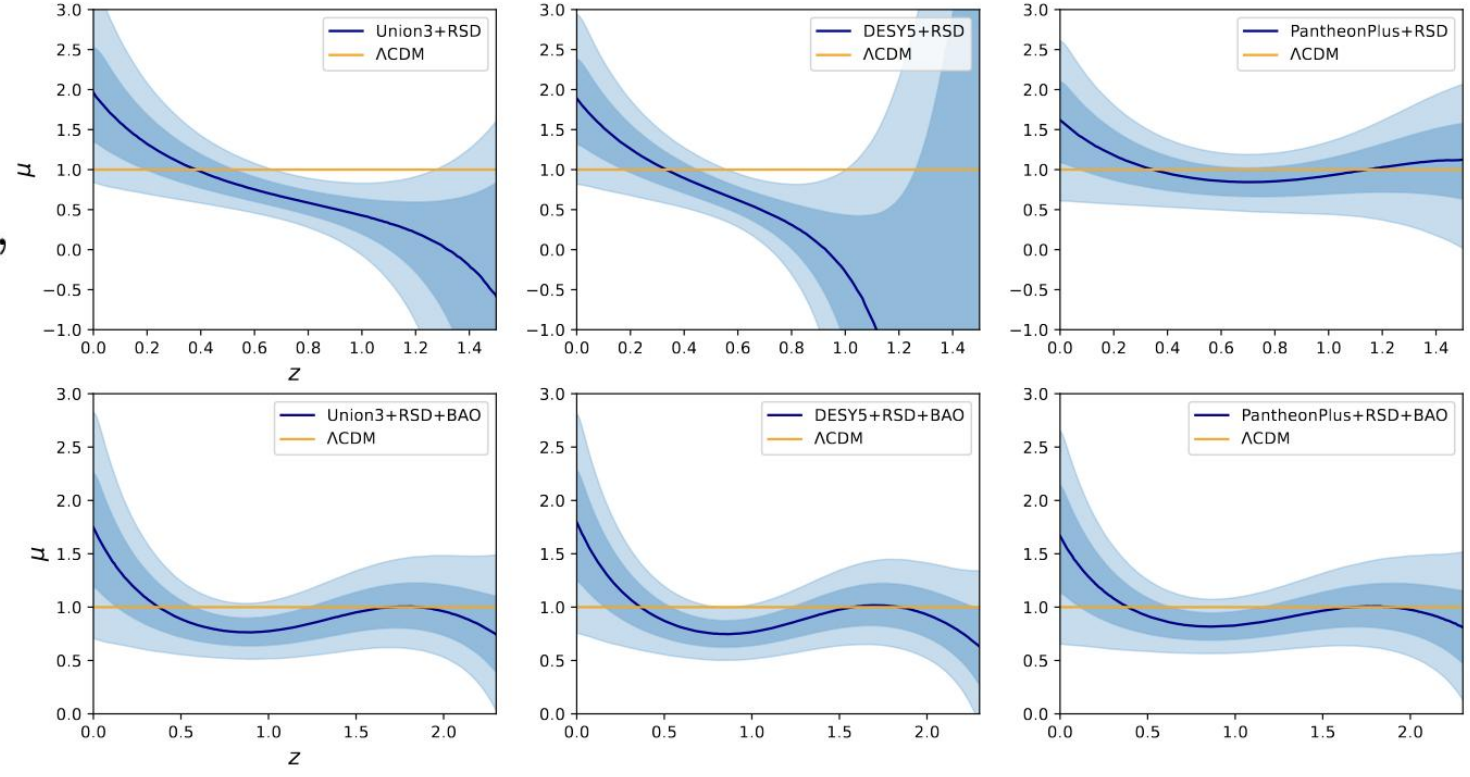
引力修正反映在有效引力常数或修正引力参数中,由 $\mu(k,a) = G_{eff}/G$ 给出。

$$k^2\Psi = -4\pi G a^2 \mu(k,a) \bar{\rho}_m \delta_m.$$

$$\ddot{\delta}_m + 2H\dot{\delta}_m - \frac{3}{2}\mu\Omega_mH^2\delta_m = 0,$$

- ▶ 广义相对论: μ = 1
- ➤ f(T) 修改引力:

$$\mu(z) pprox rac{1}{f_T}$$



µ偏离意味着修改引力的存在,对于当前的观测约束而言小幅的修正似乎 更受数据青睐,但扰动阶对修改引力的检验还需未来更精确的观测

展望: 有效场论方法

➤ 幺正规范 (Unitary gauge) 下的一般有效场论

CYF et al. 1803.09818; 2504.06784; ...

Curvature based EFT Torsion contribution

$$\begin{split} S &= \int d^4x \sqrt{-g} \Bigg[&\frac{M_P^2}{2} \Psi(t) \mathring{R} - \Lambda(t) - b(t) g^{00} \Bigg] + \underbrace{\frac{M_P^2}{2} \Big(d(t) T + g(t) T^0 \Big)}_{} \\ &+ \underbrace{\frac{M_P^2}{2} \Big(e(t) Q + h(t) Q^0 + j(t) \tilde{Q}^0 \Big) - k(t) Q^{000}}_{} + \underbrace{\frac{M_P^2}{2} m(t) C}_{} \Bigg] + S_{DE}^{(2)}, \end{split}$$
 Non-metricity contribution Mixing

$$\begin{split} f(Q) & \stackrel{unitary}{\longrightarrow} f_Q(Q^{(0)})\mathring{R} + \dot{f_Q}(Q^{(0)})(\tilde{Q}^0 - Q^0) - Q^{(0)}f_Q(Q^{(0)}) + f(Q^{(0)}). \\ & \Psi(t) = f_Q(Q^{(0)}), \quad j(t) = -h(t) = \dot{f_Q}(Q^{(0)}), \\ & \Lambda(t) = -\frac{M_p^2}{2} \Big[f(Q^{(0)}) - Q^{(0)}f_Q(Q^{(0)}) \Big]. \quad \text{(Coincident gauge)} \end{split}$$

展望: 与普通物质的相互作用

作为动力学自由度, Quintom暗能量有可能与宇宙中的普通物质直接耦合, 例如与电磁场可存在Chern - Simons耦合

CYF et al., 2505.24732

$$\mathcal{L}_{CS} = \frac{c}{M} \partial_{\mu} \phi A_{\nu} \tilde{F}^{\mu\nu}$$

对于单一光源而言,在光子从源传播至观测者的过程中,其偏振方向会在 Chern-Simons耦合作用下发生偏转。该 旋转效应可用Stokes参数表示

$$(Q \pm iU)' = \exp(\pm i2\chi)(Q \pm iU)$$
$$\chi = \frac{c}{M}\Delta\phi \equiv \frac{c}{M}[\phi(x_s) - \phi(x_o)]$$

通过Chern-Simons耦合, Quintom场的演化会诱导光子的CPT破坏效应, 这一现象可能通过CMB偏振实验(如AliCPT)被检验, 旋转后CMB谱的完整方程组为

$$C'_{l}^{TE} = C_{l}^{TE} \cos 2\bar{\chi} ,$$

$$C'_{l}^{TB} = C_{l}^{TE} \sin 2\bar{\chi} ,$$

$$C'_{l}^{EE} = C_{l}^{EE} \cos^{2} 2\bar{\chi} + C_{l}^{BB} \sin^{2} 2\bar{\chi} ,$$

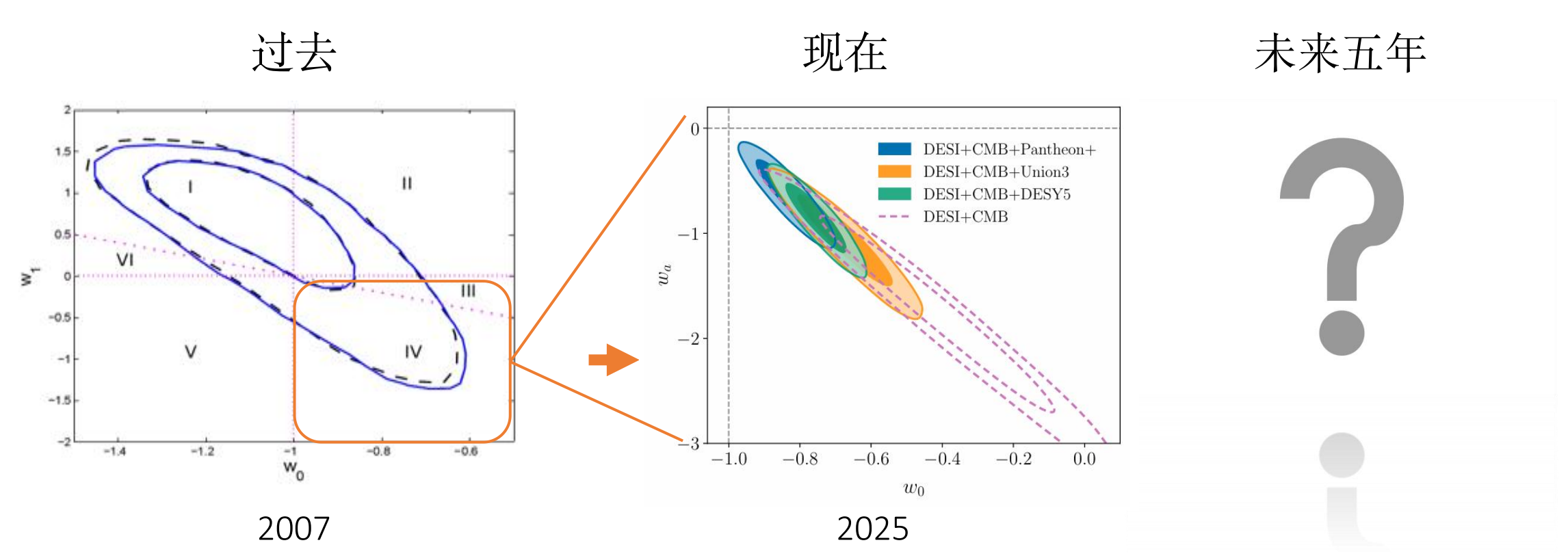
$$C'_{l}^{BB} = C_{l}^{EE} \sin^{2} 2\bar{\chi} + C_{l}^{BB} \cos^{2} 2\bar{\chi} ,$$

$$C'_{l}^{BB} = C_{l}^{EE} \sin^{2} 2\bar{\chi} + C_{l}^{BB} \cos^{2} 2\bar{\chi} ,$$

$$C'_{l}^{EB} = \frac{1}{2} (C_{l}^{EE} - C_{l}^{BB}) \sin 4\bar{\chi} .$$

To B or not to B?

 $W_0 - W_a$ 参数化:



未来 Quintom-B 动力学的置信度是否会更大?

→ 宇宙学新物理: 精灵暗能量理论?

小结

- ▶ 人类对当前宇宙加速膨胀的动力学认知取得了阶段性的重要进展
 - DESI 数据解读:
 - -标准宇宙学模型 ACDM 面临挑战
 - -w(z) 呈现出 Quintom-B 行为,从 phantom 区域跨越 1 到 quintessence 区域
 - Quintom暗能量模型的探索:
 - 多标量场,高阶导数标量场,修改引力等理论可以实现Quintom行为 并且可以解释DESI数据
 - 精确测量暗能量状态方程,深入研究Quintom暗能量理论,研究动力学暗能量与通常物质的相互作用开展暗能量探测实验新方法

谢谢! 敬请各位专家指正!